

“C”或“U”字形，半规管边缘光滑，直径为 1~2mm，半规管的脚稍膨隆，3 个半规管共有 5 个脚与椭圆囊相连。椭圆囊和球囊显示为高信号囊，其长短径分别为 $4.5\text{mm} \times 1.1\text{mm}$ 和 $1.2\text{mm} \times 0.9\text{mm}$ 。耳蜗在左右轴 -30°~-75° MIP 图上呈盘旋的“蚊香状”，在左右轴 0° MIP 图上呈“草帽状”，蜗底较大，直径 8mm，蜗顶较小 2mm，蜗高为 3mm，蜗轴底直径 3mm，蜗管直径 1.5~2.5mm，耳蜗螺旋板表现为条状低信号，螺旋板上方为前庭阶，下方为鼓阶。两侧内听道呈管状或锥形高信号，直径 5~6mm，边缘光滑，其内可见 4 条低信号结构，为前庭上神经、前庭下神经、蜗神经和面神经。前庭下神经最细，直径约为 0.9mm，其余 3 条神经直径约为 1mm。

结 论

本组资料表明薄层 3D-重 T_2 W FSE 水成像技术在显示内听道面听神经分支和迷路的螺旋板、前庭阶、鼓阶、椭圆囊、球囊、前庭嵴等细微结构方面明显优于常规 T_2 。3D-重 T_2 W FSE 序列的 MPVR 图像在显示内耳的全貌方面明显优于单幅常规 T_2 W FSE 图像。

(注: 1mm = 2.54cm)

参考文献

- 孔祥泉, 刘定西, 徐海波, 等. 国人内听道及内耳膜迷路的正常 MR 解剖研究[J]. 临床放射学杂志, 1999, 18(1): 11-13.
- Shinji N, Tokiko I, Eriko I, et al. MR imaging of the cochlear modiolus: area measurement in healthy subjects and in patients with a large endolymphatic duct and sac[J]. Radiology, 1999, 213(3): 819-823.
- Held P, Fellner C, Fellner F, et al. MRI of inner and facial nerve pathology using 3D-MRGE and 3D CISS sequences[J]. Br J Radiol, 1997, 70(834): 558-566.
- Hamsberger HR, Richard T D, Clough S, et al. Advanced techniques in magnetic resonance imaging in the evaluation of the large endolymphatic duct and sac syndrome[J]. Laryngoscope, 1995, 105(10): 1037-1042.
- Christian C, Thomas R, Wolfgang G, et al. MR imaging of the inner and cerebellopontine angle: comparison of three-dimensional and two-dimensional sequences[J]. AJR, 1998, 170(3): 791-796.
- James NL, Brian DK, Dennis LP, et al. High resolution 3D imaging of the inner ear with a modified fast spin-echo pulse sequence[J]. JMRI, 1996, 6(1): 223-225.
- Hirsch BE, Wissmann JL, Curtin HD, et al. Advanced magnetic resonance imaging of the large vestibular aqueduct[J]. Arch Otolaryngol Head Neck Surg, 1992, 118(10): 1124-1127.

(2002-08-26 收稿 2002-10-21 修回)

乳腺淋巴管瘤一例

• 病例报道•

张笑魁 牛淑祥

【中图分类号】 R445; R655.7 【文献标识码】 D 【文章编号】 1000-0313(2003)04-0296-01

病例资料 患者，女，43岁，20d 前发现右乳下肿物，局部疼痛伴发热，体检发现右乳内下象限可触及约 $5.0\text{cm} \times 4.0\text{cm}$ 包块，质硬，表面无扩张静脉，无波动感。右乳内上及外下象限分别触及约 $2.0\text{cm} \times 1.5\text{cm}$ 和 $4.0\text{cm} \times 4.0\text{cm}$ 大小的肿块，质硬有波动感，腋下未扪及肿大淋巴结。B 超提示：右乳腺实质性包块。

CT 平扫：右胸壁软组织隆起高于对侧，皮下及乳腺间脂肪间隙消失，被大量结节样层状分布的软组织影充填，其边界清楚，右侧乳腺不能识别，CT 值为 2~10HU，软组织影沿肌肉间隙生长，肌肉、骨骼未见浸润征象（图 1）。CT 考虑为胸壁淋巴管瘤。

手术及病理：术中见右乳内下象限包块与周围组织分界清，并有囊性分隔，内伴清亮液体。另于右乳内上及外下方乳腺腺体上各剥离 $1.5\text{cm} \times 1.5\text{cm} \times 1.0\text{cm}$ 和 $3.5\text{cm} \times 3.0\text{cm} \times 1.5\text{cm}$ 大小的肿块各一，其质韧，无分隔。病理诊断：右乳腺淋巴管瘤。

讨论 乳腺淋巴管网丰富，但发生淋巴管瘤者少见。淋巴

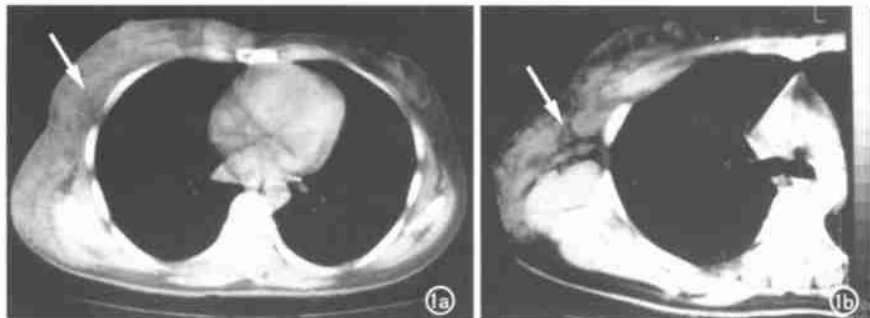


图 1 乳腺淋巴管瘤。CT 示右侧胸壁内大量软组织影，其内有线条状低密度影，大部呈节条状，层样分布，沿肌间隙蔓延（箭）。a) 右乳下部；b) 右乳上部。

管瘤系先天性病变，由增生的淋巴管构成，为淋巴管发育畸形所致，而非真正的肿瘤。多发于儿童，偶见成人，以颈部及腋部常见，发生于乳腺者较少见。组织学上分为毛细管型淋巴管瘤、海绵状淋巴管瘤及囊性淋巴管瘤 3 种，亦可为混合型。卢光明等认为淋巴管瘤壁薄 CT 多不能显示其分隔，且不强化。本例因患者对对比剂过敏未能做增强检查，但就其低密度肿块（密度近似于水），沿肌肉间隙蔓延生长及分布广泛的特点，在排除乳腺自身病变的基础上还应考虑为淋巴管瘤。

(2002-10-04 收稿 2002-12-06 修回)

作者单位：043014 山西，侯马解放军第 289 医院放射科
作者简介：张笑魁（1974~），男，内蒙古宁城人，技师，大专，主要从事普通放射技术工作。

© 1994-2012 China Academic Journal Electronic Publishing House. All rights reserved. http://www.cnki.net